

stability and weak toxicity against local snail. It may mean that the two complexes are of good environmental compatibility. CCDC: 955579, 1; 955580, 2.

Key words: trialkyltin complex; mandelic acid; phenylacetic acid; crystal structure; toxicity

0 前言

许多有机锡化合物具有较强的生物活性,还具有选择性高、残留量低、易降解、对生态环境影响较小等特点,在农用杀虫、杀菌、除草等领域应用前景广阔^[1-3]。如,三苯基锡化合物被用来防治甜菜褐斑病和马铃薯晚疫病;三环己基锡衍生物能用作高效杀螨剂、除草剂。研究表明,有机锡化合物的生物活性取决于与锡原子相连的烃基的数目、位阻大小及配体^[4-9]。利用含N、O、S或P等原子的有机配体,与烃基锡氧(卤)化物反应,可获得四、五、六、七等多种配位结构的有机锡衍生物^[10-13],部分化合物具有比其前体更高的生物活性^[4-9]。氧化双[三(2-甲基-2-苯基)丙基锡],即苯丁锡,是一种农作物植食性螨类的有效防治剂,然而受烃基位阻太大的影响,其衍生物中心锡原子多为简单的四面体构型^[14-15]。为了进一步研究配体对有机锡化合物空间结构和性能的影响,我们以苯丁锡与DL-扁桃酸、苯乙酸反应,合成了2个三(2-甲基-2-苯基)丙基锡羧酸酯。

1 实验部分

1.1 仪器和试剂

氧化双[三(2-甲基-2-苯基)丙基锡]为化学纯,购自浙江华兴农药有限公司。DL-扁桃酸、苯乙酸为化学纯,购自上海晶纯实业有限公司。甲醇为分析纯,天津市巴斯夫化工有限公司,未经处理。

熔点用X4双目体视显微熔点测定仪(北京泰克仪器有限公司)测定,温度计未经校正。C、H含量用PE-2400(II)元素分析仪(美国PE公司)测定。红外光谱用IR Prestige-21红外光谱仪(日本Shimadzu公司,4 000~400 cm⁻¹)测定。核磁共振氢谱、碳谱用Bruker Avance 400核磁共振仪(瑞士Bruker公司,

TMS为内标)测定。热重分析于TG 209 F3热重分析仪(德国Netzsch公司)上进行。

1.2 配合物的合成

50 mL圆底烧瓶中,加入氧化双[三(2-甲基-2-苯基)丙基锡]0.5 mmol, DL-扁桃酸1 mmol或者苯乙酸1 mmol, 20 mL甲醇,搅拌回流反应8 h,反应完成后,旋转蒸发除去部分溶剂,冷却至室温,过滤,滤液静置数天后析出晶体,得化合物1或2。

配合物1:无色透明晶体0.438 g,收率65.5%。m.p. 128~129 °C。元素分析(C₃₈H₄₆O₃Sn),理论值(%):C 68.17, H 6.93;实测值(%):C 68.15, H 6.96。IR(KBr, cm⁻¹): 3 459(w), 3 056(w), 3 027(w), 2 958(m), 2 921(w), 1 656(s), 1 496(w), 1 446(w), 1 321(vs), 1 277(w), 1 192(m), 1 067(m), 1 029(w), 936(w), 770(m), 745(w), 700(vs), 620(m), 557(w), 511(w), 425(w)。¹H NMR(CDCl₃, 400 MHz), δ 6.97~7.44(m, 20H, Ph-H), 4.99(s, 1H, PhCH(OH)-), 3.75(s, 1H, PhCH(OH)-), 1.11(s, 18H, Me-H), 1.08(s, 6H, SnCH₂-)。¹³C NMR(CDCl₃, 100 MHz), δ 32.71(SnCH₂-), 37.57(Me-C), 39.46(Me₂PhC-), 73.73(PhCH(OH)-), 125.30, 125.95, 126.58, 127.70, 128.14, 128.42, 140.12, 150.64(Ph-C), 176.75(-COO)。

配合物2:无色透明晶体0.487 g,收率74.6%。m.p. 71~73 °C。元素分析(C₃₈H₄₆O₂Sn),理论值(%):C 69.84, H 7.10;实测值(%):C 69.85, H 7.07。IR(KBr, cm⁻¹): 3 084(w), 3 056(w), 3 027(w), 2 960(m), 2 919(w), 2 861(w), 1 658(vs), 1 601(w), 1 494(w), 1 442(w), 1 384(w), 1 362(w), 1 315(s), 1 279(w), 1 191(w), 1 152(w), 1 074(w), 1 029(w), 934(w), 768(m), 723(m), 700(s), 644(w), 618(w), 554(w), 507(w), 451(w)。¹H NMR(CDCl₃, 400 MHz), δ 7.04~7.33(m, 20H, Ph-H), 3.54(s, 2H, PhCH₂COO), 1.14(s, 18H, Me-H), 1.09(s, 6H, SnCH₂-)。¹³C NMR(CDCl₃, 100 MHz), δ 32.66(SnCH₂-), 37.36

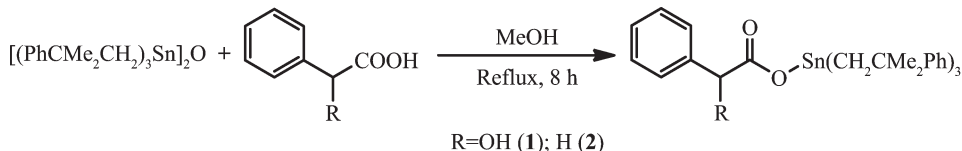


图1 化合物的合成反应

Fig.1 Preparation of the complexes

基均为单齿配位^[16]。**1** 在 557、425 cm⁻¹ 和 **2** 在 554、451 cm⁻¹ 分别出现 Sn-C、Sn-O 键的伸缩振动吸收^[17]。

配合物的 ¹H NMR 谱中,各组峰的积分面积之比与相应的各组质子数之比基本吻合。**1** 在 6.97~7.44 和 **2** 在 7.04~7.33 范围内的多重峰,归属为苯环质子吸收峰^[1,3]。**1** 在 4.99 和 **2** 在 3.54 处的单峰,分别归属为相应配体的次甲基和亚甲基氢峰^[14,19],前者较后者位于低场,其原因是扁桃酸的次甲基除与羧基相连外、还与羟基相连,C-O 键电子云偏向羟基氧一侧,次甲基氢受到的屏蔽作用减弱。**1** 在 1.11、1.08 和 **2** 在 1.14、1.09 处的单峰,分别归属为配合物中甲基及与锡相连的亚甲基氢峰^[14,15]。配合物的 ¹³C NMR 谱中,苯环碳原子出现在 125.30~150.64 (**1**) 和 125.32~150.93 (**2**) 范围内;羧基碳原子分别出现在 176.75 (**1**) 和 175.70 (**2**),与类似化合物基本一致^[18-19]。

2.2 晶体结构分析

配合物的分子结构见图 2, 主要键长和键角列于表 2。从分子结构图和结构参数可知,配合物 **1** 和 **2** 的中心锡原子的配位环境类似,锡原子与 3 个 2-甲基-2-苯基丙基的亚甲基碳、配体分子的 1 个羧基氧原子配位,形成以锡原子为中心的四面体构型。3 组 Sn-C 键键长较为接近,**1** 中 3 个 Sn-C 键长最大差 0.001 3 nm,**2** 的 3 个 Sn-C 键长几乎相等。3 组 \angle O-Sn-C 角偏差较大,均明显偏离正四面体的 109.5°,可见锡原子与配位原子组成畸变四面体构型。Sn1 与羧基 O1 原子的距离:0.208 2 nm (**1**)、0.206 1 nm (**2**),小于 Sn-C 键长,也远小于两原子的共价半径之和 0.216 nm^[20],说明配合物中 Sn1 与 O1 原子间形成了较强的配键。Sn1 与羧基 O2 原子间的距离:0.314 7 nm (**1**)、0.309 9 nm (**2**),作用较弱,故配合物 **1** 和 **2** 中羧基是以单齿形式与锡原子配

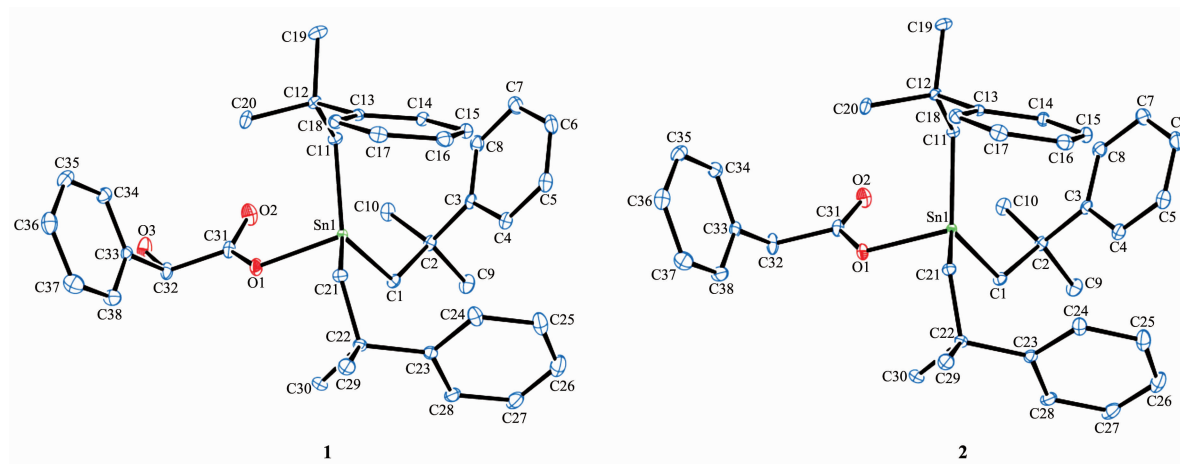


图 2 配合物的分子结构图(椭球率 5%)

Fig.2 Molecular structures of complex **1** and **2** with 5% probability ellipsoids

表 2 配合物的主要键长和键角

Table 2 Selected bond lengths (nm) and angles (°) for the complexes

Complex	1	2
Sn1-O1	0.208 2(2)	0.206 13(14)
Sn1-C1	0.215 1(3)	0.215 15(19)
Sn1-C11	0.215 0(3)	0.215 11(17)
Sn1-C21	0.213 8(3)	0.215 17(18)
O1-Sn1-C1	101.32(12)	102.86(8)
O1-Sn1-C21	105.07(12)	104.15(7)
O1-Sn1-C11	91.91(12)	94.00(7)
C1-Sn1-C21	119.09(12)	118.50(8)
C1-Sn1-C11	116.74(12)	116.68(8)
C11-Sn1-C21	116.06(11)	115.20(7)

- [5] Sun M L, Ruan B F, Zhang Q, et al. *J. Organomet. Chem.*, **2011**,**696**(20):3180-3185
- [6] Zhu C, Yang L, Li D, et al. *Inorg. Chim. Acta*, **2011**,**375**(1):150-157
- [7] Zhang J H, Zhang R F, Ma C L, et al. *Polyhedron*, **2011**,**30**(4):624-631
- [8] Xiao X, Han X, Mei Z, et al. *J. Organomet. Chem.*, **2013**,**729**:28-39
- [9] Kang W, Wu X, Huang J. *J. Organomet. Chem.*, **2009**,**694**(15):2402-2408
- [10] Voigt A, Murugavel R, Roesky H W. *Organometallics*, **1996**,**15**(24):5097-5101
- [11] Chandrasekhar V, Kundu S, Kumar J, et al. *Cryst. Growth Des.*, **2013**,**13**(4):1665-1675
- [12] Xu G H, Ma J F, Yu H X, et al. *Organometallics*, **2006**,**25**(26):5996-6006
- [13] Chandrasekhar V, Gopal K, Thilagar P. *Acc. Chem. Res.*, **2007**,**40**(6):420-434
- [14] BAO Ming(包明), HE Qing-Lin(贺庆林), LIU Bao-Dian(刘宝殿), et al. *Chinese J. Inorg. Chem.*(无机化学学报), **1998**,
14(1):114-117
- [15] TIAN Lai-Jin(田来进), SUN Yu-Xi(孙玉希), ZHENG Xiao-Liang(郑晓亮), et al. *Chinese J. Inorg. Chem.*(无机化学学报), **2006**,**22**(11):2031-2036
- [16] Petrosyan V S, Yashina N S, Drovetskaia T V, et al. *Appl. Organometal. Chem.*, **1996**,**10**(7):523-530
- [17] KE Yi-Kan(柯以侃), DONG Hui-Ru(董慧茹). *Analysis Chemistry Handbook: Vol.3*(分析化学手册:第三分册). Beijing: Chemical Industry Press, **1998**:932-935
- [18] Warncke G, Bhme U, Günther B, et al. *Polyhedron*, **2012**,**47**(1):46-52
- [19] Ma C, Ren Y, Wang Y, et al. *Polyhedron*, **2010**,**29**(2):881-885
- [20] Alcock N W, Timms R E. *J. Chem. Soc. A*, **1968**:1873-1876
- [21] KUANG Dai-Zhi(邝代治), FENG Yong-Lan(冯泳兰), ZHANG Fu-Xing(张复兴), et al. *Chinese J. Inorg. Chem.*(无机化学学报), **2010**,**26**(12):2160-2164
- [22] CAO Zuo-Ying(曹佐英), XU Hai-Feng(许海峰), TANG Rui-Ren(唐瑞仁), et al. *Chinese J. Inorg. Chem.*(无机化学学报), **2008**,**24**(3):474-478